

# Segmentation des images ultrasonores par une approche de phase locale: Application aux images échocardiographiques pédiatriques

Ahror BELAID

UMR CNRS 6599 - HeuDiaSyC  
Université de Technologie de Compiègne

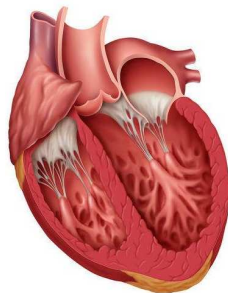
Soutenance de thèse, 28 novembre 2011,  
sous la direction de Djamel BOUKERROUI et Jean-François LERALLUT



# Pourquoi la cardiologie ?

## Système cardiovasculaire

- Première cause de mortalité dans le monde, 13,5 millions en 2008 [OMS]
- En France, la deuxième cause de mortalité : 27.5% [INSERM]



# Pourquoi la pédiatrie ?

## Pédiatrie et cardiologie congénitales

- La précocité du diagnostic est ici, encore plus qu'ailleurs, vitale pour la santé future de l'enfant
- Les cardiopathies constituent les malformations congénitales les plus fréquentes.

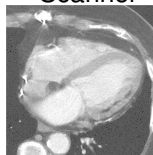


# Pourquoi l'échographie ?

## L'échographie

- L'innocuité
- La cadence de l'image
- Coût final de revient

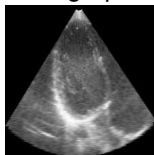
Scanner



IRM



Échographie



# Position de la problématique

## Interprétation des données

Besoin d'une segmentation automatique ou semi automatique

## Contraintes liées à la structure d'intérêt

**Anatomique** Éléments cardiaques très petits, donc difficiles à détecter par les algorithmes automatiques

**Physiologique** Un cœur d'enfant est hyper contractile

# Position de la problématique

## Interprétation des données

Besoin d'une segmentation automatique ou semi automatique

## Contraintes liées à la structure d'intérêt

**Anatomique** Éléments cardiaques très petits, donc difficiles à détecter par les algorithmes automatiques

**Physiologique** Un cœur d'enfant est hyper contractile

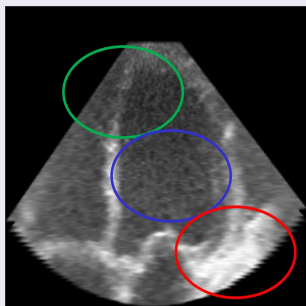
# Position de la problématique

## Interprétation des données

Besoin d'une segmentation automatique ou semi automatique

## Contraintes liées à l'image/l'imagerie

- ☹ Faible contraste
- ☹ Bruit speckle
- ☹ Atténuation



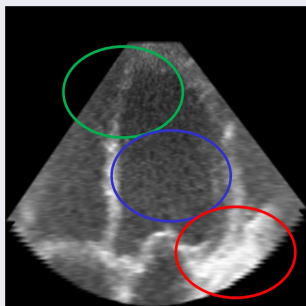
# Position de la problématique

## Interprétation des données

Besoin d'une segmentation automatique ou semi automatique

## Contraintes liées à l'image/l'imagerie

- ☹ Faible contraste
- ☹ Bruit speckle
- ☹ Atténuation



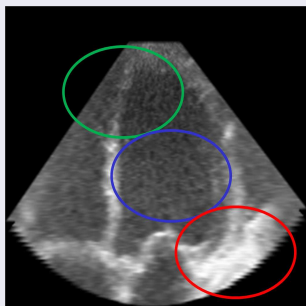
# Position de la problématique

## Interprétation des données

Besoin d'une segmentation automatique ou semi automatique

## Contraintes liées à l'image/l'imagerie

- ☹ Faible contraste
- ☹ Bruit speckle
- ☹ Atténuation



# Méthodologie adoptée

Difficulté	Modélisation	Traitement
Géométrie complexe Mesures ventriculaires Visualisation 3D	$\xrightarrow{\text{Énergie}}$	Contours actifs Ensembles de niveaux

# Méthodologie adoptée

Difficulté	Modélisation	Traitement
Géométrie complexe Mesures ventriculaires Visualisation 3D	$\xrightarrow{\text{Énergie}}$	Contours actifs Ensembles de niveaux
Structures fines	$\xrightarrow{\text{filtres}}$	Multi-échelles

# Méthodologie adoptée

Difficulté	Modélisation	Traitement
Géométrie complexe Mesures ventriculaires Visualisation 3D	$\xrightarrow{\text{Énergie}}$	Contours actifs Ensembles de niveaux
Structures fines	$\xrightarrow{\text{filtres}}$	Multi-échelles
Bruit speckle	$\xrightarrow{\text{Région}}$	Approche statistique

# Méthodologie adoptée

Difficulté	Modélisation	Traitement
Géométrie complexe Mesures ventriculaires Visualisation 3D	$\overset{\text{Énergie}}{\longrightarrow}$	Contours actifs Ensembles de niveaux
Structures fines	$\overset{\text{filtres}}{\longrightarrow}$	Multi-échelles
Bruit speckle	$\overset{\text{Région}}{\longrightarrow}$	Approche statistique
Atténuation Faible contraste	$\overset{\text{Contour}}{\longrightarrow}$	Information de phase

# Plan

- 1 Modèles variationnels**
  - Contour Actif Géodésique (GAC)
  - Modèle du Maximum de Vraisemblance (MV)
  - Modèle du Laplacien
- 2 L'information de phase locale**
  - La phase locale 1D
  - La phase locale nD
  - Les filtres en quadratures
- 3 Contributions**
  - Terme d'alignement monogénique
  - Feature Asymmetry Monogénique (MFA)
  - Modèle du MV local
- 4 Expérimentation**
- 5 Conclusion et perspectives**

# Plan

- 1 Modèles variationnels**
  - Contour Actif Géodésique (GAC)
  - Modèle du Maximum de Vraisemblance (MV)
  - Modèle du Laplacien
- 2 L'information de phase locale**
  - La phase locale 1D
  - La phase locale nD
  - Les filtres en quadratures
- 3 Contributions**
  - Terme d'alignement monogénique
  - Feature Asymmetry Monogénique (MFA)
  - Modèle du MV local
- 4 Expérimentation**
- 5 Conclusion et perspectives**

# Plan

- 1 Modèles variationnels**
  - Contour Actif Géodésique (GAC)
  - Modèle du Maximum de Vraisemblance (MV)
  - Modèle du Laplacien
- 2 L'information de phase locale**
  - La phase locale 1D
  - La phase locale nD
  - Les filtres en quadratures
- 3 Contributions**
  - Terme d'alignement monogénique
  - Feature Asymmetry Monogénique (MFA)
  - Modèle du MV local
- 4 Expérimentation**
- 5 Conclusion et perspectives**

# Plan

- 1 Modèles variationnels**
  - Contour Actif Géodésique (GAC)
  - Modèle du Maximum de Vraisemblance (MV)
  - Modèle du Laplacien
- 2 L'information de phase locale**
  - La phase locale 1D
  - La phase locale nD
  - Les filtres en quadratures
- 3 Contributions**
  - Terme d'alignement monogénique
  - Feature Asymmetry Monogénique (MFA)
  - Modèle du MV local
- 4 Expérimentation**
- 5 Conclusion et perspectives**

# Plan

- 1 Modèles variationnels**
  - Contour Actif Géodésique (GAC)
  - Modèle du Maximum de Vraisemblance (MV)
  - Modèle du Laplacien
- 2 L'information de phase locale**
  - La phase locale 1D
  - La phase locale nD
  - Les filtres en quadratures
- 3 Contributions**
  - Terme d'alignement monogénique
  - Feature Asymmetry Monogénique (MFA)
  - Modèle du MV local
- 4 Expérimentation**
- 5 Conclusion et perspectives**

# Historique

- Formalisme de **minimisation d'énergie**, [Geman et Geman 1984]
- Contours actifs paramétriques, **courbe**  $\mathcal{C}(p, t)$  en mouvement, [Kass et al. 1988]
- Implémentation par **ensemble de niveaux**,  $\phi(\mathcal{C}, t) = 0$ , [Osher et al. 1985]
- Contours actifs géométriques, [Malladi et al. 1995]

$$\frac{\partial \phi}{\partial t} = F(\kappa) |\nabla \phi|, \quad \text{avec} \quad \kappa = \operatorname{div} \left( \frac{\nabla \phi}{|\nabla \phi|} \right).$$

# Historique

- Formalisme de **minimisation d'énergie**, [Geman et Geman 1984]
- Contours actifs paramétriques, **courbe  $\mathcal{C}(p, t)$**  en mouvement, [Kass et al. 1988]
- Implémentation par **ensemble de niveaux**,  $\phi(\mathcal{C}, t) = 0$ , [Osher et al. 1985]
- Contours actifs géométriques, [Malladi et al. 1995]

$$\frac{\partial \phi}{\partial t} = F(\kappa) |\nabla \phi| \quad , \quad \text{avec} \quad \kappa = \operatorname{div} \left( \frac{\nabla \phi}{|\nabla \phi|} \right) .$$

# Historique

- Formalisme de **minimisation d'énergie**, [Geman et Geman 1984]
- Contours actifs paramétriques, **courbe  $\mathcal{C}(p, t)$**  en mouvement, [Kass et al. 1988]
- Implémentation par **ensemble de niveaux,  $\phi(\mathcal{C}, t) = 0$** , [Osher et al. 1985]
- Contours actifs géométriques, [Malladi et al. 1995]

$$\frac{\partial \phi}{\partial t} = F(\kappa) |\nabla \phi|, \quad \text{avec} \quad \kappa = \operatorname{div} \left( \frac{\nabla \phi}{|\nabla \phi|} \right).$$

# Historique

- Formalisme de **minimisation d'énergie**, [Geman et Geman 1984]
- Contours actifs paramétriques, **courbe  $\mathcal{C}(p, t)$**  en mouvement, [Kass et al. 1988]
- Implémentation par **ensemble de niveaux,  $\phi(\mathcal{C}, t) = 0$** , [Osher et al. 1985]
- Contours actifs géométriques, [Malladi et al. 1995]

$$\frac{\partial \phi}{\partial t} = F(\kappa) |\nabla \phi| \quad , \quad \text{avec} \quad \kappa = \operatorname{div} \left( \frac{\nabla \phi}{|\nabla \phi|} \right) \quad .$$

# Les modèles d'ensembles de niveaux

Nous nous intéressons plus particulièrement aux :

- Contour Actifs Géodésiques (GAC)[Caselles et al. 1997]
- Modèle du Laplacien [Kimmel et al. 2003]
- Modèle de Maximum de Vraisemblance (MV) [Zhu et Yuille 1996]

# Plan

- 1 Modèles variationnels**
  - Contour Actif Géodésique (GAC)
  - Modèle du Maximum de Vraisemblance (MV)
  - Modèle du Laplacien
- 2 L'information de phase locale**
  - La phase locale 1D
  - La phase locale nD
  - Les filtres en quadratures
- 3 Contributions**
  - Terme d'alignement monogénique
  - Feature Asymmetry Monogénique (MFA)
  - Modèle du MV local
- 4 Expérimentation**
- 5 Conclusion et perspectives**

# Principe du modèle GAC

- Recherche un géodésique - une courbe de longueur minimale -

$$\mathcal{E}_{GAC}(C) = \int_0^1 g(|\nabla I(C(p))|) \left| \frac{\partial C}{\partial p} \right| dp ,$$

avec

$$g(|\nabla I|) = \frac{1}{1 + |\nabla(G * I)|^p} , \quad p \geq 1 .$$

où  $G$  représente un filtre gaussien et  $*$  le produit de convolution.

- La fonction d'évolution associée à la fonctionnelle en intégrant  $\phi$  est donnée par :

$$\frac{\partial \phi}{\partial t} = \operatorname{div} \left( g(|\nabla I|) \frac{\nabla \phi}{|\nabla \phi|} \right) |\nabla \phi| .$$

# Principe du modèle GAC

- Recherche un géodésique - une courbe de longueur minimale -

$$\mathcal{E}_{GAC}(C) = \int_0^1 g(|\nabla I(C(p))|) \left| \frac{\partial C}{\partial p} \right| dp ,$$

avec

$$g(|\nabla I|) = \frac{1}{1 + |\nabla(G * I)|^p} , \quad p \geq 1 .$$

où  $G$  représente un filtre gaussien et  $*$  le produit de convolution.

- La fonction d'évolution associée à la fonctionnelle en intégrant  $\phi$  est donnée par :

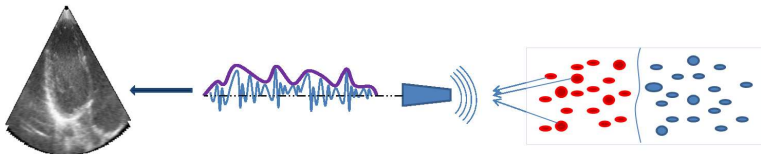
$$\frac{\partial \phi}{\partial t} = \operatorname{div} \left( g(|\nabla I|) \frac{\nabla \phi}{|\nabla \phi|} \right) |\nabla \phi| .$$

# Plan

- 1 Modèles variationnels**
  - Contour Actif Géodésique (GAC)
  - **Modèle du Maximum de Vraisemblance (MV)**
  - Modèle du Laplacien
- 2 L'information de phase locale**
  - La phase locale 1D
  - La phase locale nD
  - Les filtres en quadratures
- 3 Contributions**
  - Terme d'alignement monogénique
  - Feature Asymmetry Monogénique (MFA)
  - Modèle du MV local
- 4 Expérimentation**
- 5 Conclusion et perspectives**

# Statistiques des images ultrasonores

- Inhomogénéité acoustique du milieu traversé
- Présence des diffuseurs
- Cellule de résolution



# Modèles statistiques des images ultrasonores

**TABLE:** Quelques caractéristiques des modèles de distribution.

Modèle	densité diffuseurs aléatoire	cohérence diffuseurs	complexité
Rayleigh	forte	non	faible
Rice	forte	oui	faible
K-distribution	indifférente	non	élevée
Homodyned K	indifférente	indifférente	élevée
Nakagami	indifférente	indifférente	faible
RiIG	indifférente	indifférente	élevée

# Modèle de Maximum de Vraisemblance (MV)

- On recherche la partition de l'image qui maximise la fonction de vraisemblance des données observées
- La distribution est connue a priori  $p$ , [Sarti et al. 2005], Rayleigh
- Ce qui implique la minimisation de la fonction d'énergie suivante :

$$\mathcal{E}_{RG}(\phi) = - \int_{\Omega} H(\phi) \log p(I, \theta_1) d\mathbf{x} - \int_{\Omega} (1 - H(\phi)) \log p(I, \theta_2) d\mathbf{x} + \nu \int_{\Omega} |\nabla H(\phi)| d\mathbf{x} ,$$

# Modèle de Maximum de Vraisemblance (MV)

- On recherche la partition de l'image qui maximise la fonction de vraisemblance des données observées
- La distribution est connue a priori  $p$ , [Sarti et al. 2005], Rayleigh
- Ce qui implique la minimisation de la fonction d'énergie suivante :

$$\mathcal{E}_{RG}(\phi) = - \int_{\Omega} H(\phi) \log p(I, \theta_1) d\mathbf{x} - \int_{\Omega} (1 - H(\phi)) \log p(I, \theta_2) d\mathbf{x} + \nu \int_{\Omega} |\nabla H(\phi)| d\mathbf{x} ,$$

# Modèle de Maximum de Vraisemblance (MV)

- On recherche la partition de l'image qui maximise la fonction de vraisemblance des données observées
- La distribution est connue a priori  $p$ , [Sarti et al. 2005], Rayleigh
- Ce qui implique la minimisation de la fonction d'énergie suivante :

$$\mathcal{E}_{RG}(\phi) = - \int_{\Omega} H(\phi) \log p(I, \theta_1) d\mathbf{x} - \int_{\Omega} (1 - H(\phi)) \log p(I, \theta_2) d\mathbf{x} + \nu \int_{\Omega} |\nabla H(\phi)| d\mathbf{x} ,$$

# Modèle de Maximum de Vraisemblance (MV)

- On recherche la partition de l'image qui maximise la fonction de vraisemblance des données observées
- La distribution est connue a priori  $p$ , [Sarti et al. 2005], Rayleigh
- Ce qui implique la minimisation de la fonction d'énergie suivante :

$$\mathcal{E}_{RG}(\phi) = - \int_{\Omega} H(\phi) \log p(I, \theta_1) d\mathbf{x} - \int_{\Omega} (1 - H(\phi)) \log p(I, \theta_2) d\mathbf{x} + \nu \int_{\Omega} |\nabla H(\phi)| d\mathbf{x} ,$$

$$\frac{\partial \phi}{\partial t} = \delta(\phi) \left( \log \frac{p(I(\mathbf{x}), \theta_2)}{p(I(\mathbf{x}), \theta_1)} + \nu \operatorname{div} \left( \frac{\nabla \phi}{|\nabla \phi|} \right) \right) .$$

# Plan

- 1 Modèles variationnels**
  - Contour Actif Géodésique (GAC)
  - Modèle du Maximum de Vraisemblance (MV)
  - **Modèle du Laplacien**
- 2 L'information de phase locale**
  - La phase locale 1D
  - La phase locale nD
  - Les filtres en quadratures
- 3 Contributions**
  - Terme d'alignement monogénique
  - Feature Asymmetry Monogénique (MFA)
  - Modèle du MV local
- 4 Expérimentation**
- 5 Conclusion et perspectives**

# Fondement du modèle de Laplacien

- 1 Kimmel et Bruckstein [2003] ont démontré que le Laplacien est la solution d'une minimisation d'une énergie  $\mathcal{E}_A$
- 2 Ils ont fait le lien entre le détecteur de contour Laplacien et la théorie des contours actifs
- 3 La minimisation de la fonctionnelle  $\mathcal{E}_A(\mathcal{C})$  est par la suite résolue en faisant appel aux techniques traditionnelles des ensembles de niveaux et de descente du gradient.

# Fondement du modèle de Laplacien

- 1 Kimmel et Bruckstein [2003] ont démontré que le Laplacien est la solution d'une minimisation d'une énergie  $\mathcal{E}_A$
- 2 Ils ont fait le lien entre le détecteur de contour Laplacien et la théorie des contours actifs
- 3 La minimisation de la fonctionnelle  $\mathcal{E}_A(\mathcal{C})$  est par la suite résolue en faisant appel aux techniques traditionnelles des ensembles de niveaux et de descente du gradient.

# Fondement du modèle de Laplacien

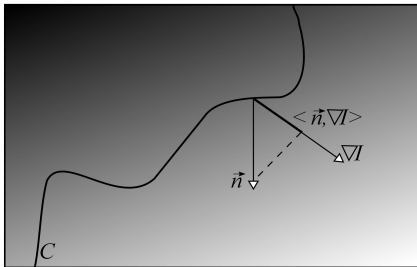
- 1 Kimmel et Bruckstein [2003] ont démontré que le Laplacien est la solution d'une minimisation d'une énergie  $\mathcal{E}_A$
- 2 Ils ont fait le lien entre le détecteur de contour Laplacien et la théorie des contours actifs
- 3 La minimisation de la fonctionnelle  $\mathcal{E}_A(\mathcal{C})$  est par la suite résolue en faisant appel aux techniques traditionnelles des ensembles de niveaux et de descente du gradient.

# Modèle du Laplacien (Terme d'alignement)

## Interprétation

$$\mathcal{E}_A(C) = \int_0^1 \langle \nabla I(x(p), y(p)), \mathbf{n}(p) \rangle \left| \frac{\partial C}{\partial p} \right| dp ,$$

$$\frac{\partial \mathcal{E}_A(C)}{\partial C} = \underbrace{\operatorname{div}(\nabla I)}_{\Delta I} \mathbf{n}.$$

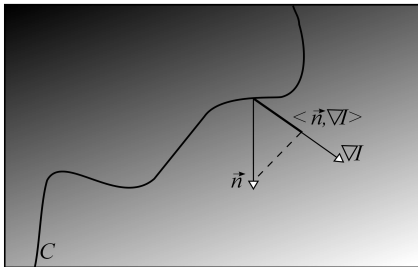


# Modèle du Laplacien (Terme d'alignement)

## Interprétation

$$\mathcal{E}_A(C) = \int_0^1 \langle \nabla I(x(p), y(p)), \mathbf{n}(p) \rangle \left| \frac{\partial C}{\partial p} \right| dp ,$$

$$\frac{\partial \mathcal{E}_A(C)}{\partial C} = \underbrace{\operatorname{div}(\nabla I)}_{\Delta I} \mathbf{n}.$$

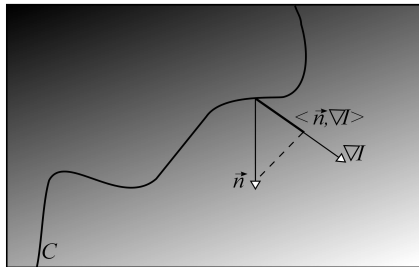


# Modèle du Laplacien (Terme d'alignement)

## Interprétation

$$\mathcal{E}_A(C) = \int_0^1 \langle \nabla I(x(p), y(p)), \mathbf{n}(p) \rangle \left| \frac{\partial C}{\partial p} \right| dp ,$$

$$\frac{\partial \mathcal{E}_A(C)}{\partial C} = \underbrace{\operatorname{div}(\nabla I)}_{\Delta I} \mathbf{n}.$$

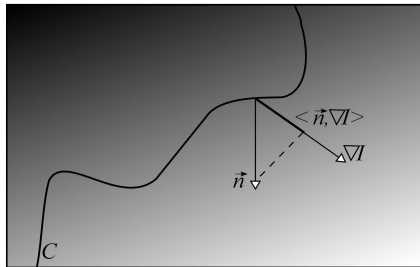


# Modèle du Laplacien (Terme d'alignement)

## Interprétation

$$\mathcal{E}_A(C) = \int_0^1 \langle \nabla I(x(p), y(p)), \mathbf{n}(p) \rangle \left| \frac{\partial C}{\partial p} \right| dp ,$$

$$\frac{\partial \mathcal{E}_A(C)}{\partial C} = \underbrace{\operatorname{div}(\nabla I)}_{\Delta I} \mathbf{n}.$$

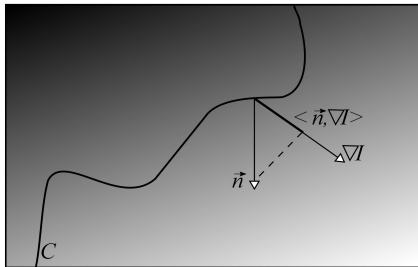


# Modèle du Laplacien (Terme d'alignement)

## Terme d'alignement robuste

$$\mathcal{E}_{AR}(C) = \int_0^1 |\langle \nabla I(x(p), y(p)), \mathbf{n}(p) \rangle| \left| \frac{\partial C}{\partial p} \right| dp ,$$

$$\frac{\partial \mathcal{E}_{AR}(C)}{\partial C} = \text{sign}(\langle \nabla I, \mathbf{n} \rangle) \text{div}(\nabla I) \mathbf{n}.$$

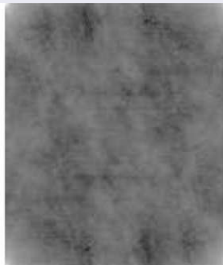


# Plan

- 1 **Modèles variationnels**
  - Contour Actif Géodésique (GAC)
  - Modèle du Maximum de Vraisemblance (MV)
  - Modèle du Laplacien
- 2 **L'information de phase locale**
  - La phase locale 1D
  - La phase locale nD
  - Les filtres en quadratures
- 3 **Contributions**
  - Terme d'alignement monogénique
  - Feature Asymmetry Monogénique (MFA)
  - Modèle du MV local
- 4 **Expérimentation**
- 5 **Conclusion et perspectives**

# L'importance de la phase

[Openheim & Lim 1981]



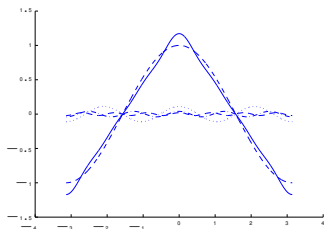
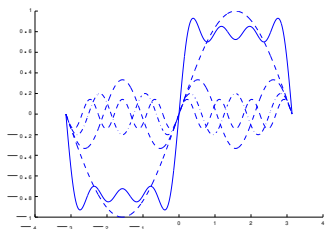
$$F^{-1}[|F(u)|]$$



$$F^{-1}[e^{-i\varphi(u)}]$$

# L'importance de la phase

[Morrison & Burr 1988]



# De la phase de Fourier vers la phase locale

- La phase locale est vue comme la compensation spatiale de la phase de Fourier
  - La phase de Fourier : La phase du signal d'une composante fréquentielle donnée
  - La phase locale : La phase du signal à une position donnée
- La phase locale est vue comme la décomposition du signal en base des symétries
  - Lignes (symétries paires)
  - Bords (symétries impaires)

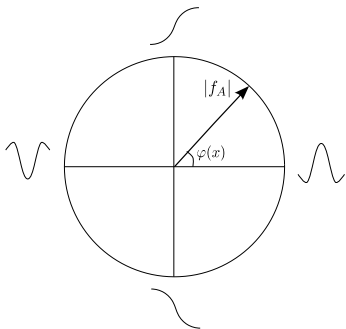
# De la phase de Fourier vers la phase locale

- La phase locale est vue comme la compensation spatiale de la phase de Fourier
  - La phase de Fourier : La phase du signal d'une composante fréquentielle donnée
  - La phase locale : La phase du signal à une position donnée
- La phase locale est vue comme la décomposition du signal en base des symétries
  - Lignes (symétries paires)
  - Bords (symétries impaires)

# Interprétation de la phase locale

## Structures locales

- $\varphi = 2\pi k$  : ligne positive
- $\varphi = \pi + 2\pi k$  : ligne négative
- $\varphi = \frac{\pi}{2} + 2\pi k$  : transition positive
- $\varphi = -\frac{\pi}{2} + 2\pi k$  : transition négative



# Calcul de la phase locale

- La phase locale 1D est définie à partir du **signal analytique** [Gabor 1946]
- Le signal analytique est construit à partir de la **transformée de Hilbert**

## Signal analytique [Gabor 1946]

$$f_{\mathcal{H}}(x) = f(x) * \frac{1}{\pi x} \implies F_{\mathcal{H}}(u) = -i \cdot \text{sign}(u) \cdot F(u) = H(u) \cdot F(u)$$

## Transformée de Hilbert

$$f_A(x) = f(x) + i\mathcal{H}[f(x)] = |f_A(x)|e^{i\varphi_{f_A}(x)} \implies F_A(u) = 2 \cdot \Pi(u) \cdot F(u)$$

# Plan

- 1 **Modèles variationnels**
  - Contour Actif Géodésique (GAC)
  - Modèle du Maximum de Vraisemblance (MV)
  - Modèle du Laplacien
- 2 **L'information de phase locale**
  - La phase locale 1D
  - La phase locale nD
  - Les filtres en quadratures
- 3 **Contributions**
  - Terme d'alignement monogénique
  - Feature Asymmetry Monogénique (MFA)
  - Modèle du MV local
- 4 **Expérimentation**
- 5 **Conclusion et perspectives**

# Signal Monogénique

- Extension nD du signal analytique [Felsberg 2002]
- La transformée de Riesz  $\mathbf{f}_{\mathcal{R}} : \mathbb{R}^n \longrightarrow \mathbb{R}^n$
- Projection d'un signal  $f : \mathbb{R}^n \longrightarrow \mathbb{R}$  dans un espace de dimension (n+1)

$$f_M : \mathbb{R}^n \longrightarrow \mathbb{R}^{n+1}$$

$$f_M(\mathbf{x}) = (-\mathbf{f}_{\mathcal{R}}(\mathbf{x}), f(\mathbf{x}))$$

# Signal Monogénique

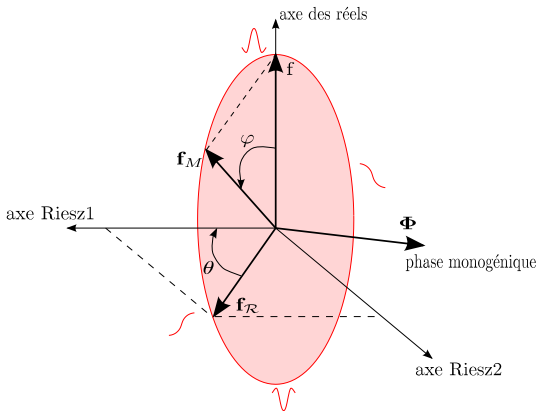
- Amplitude locale

$$|f_M(\mathbf{x})| = \sqrt{f(\mathbf{x})^2 + |\mathbf{f}_R(\mathbf{x})|^2}$$

- Vecteur de phase locale

$$\Phi = \varphi(\mathbf{x})\mathbf{r}(\mathbf{x})$$

$$= \arctan\left(\frac{|\mathbf{f}_R(\mathbf{x})|}{f(\mathbf{x})}\right) \frac{\mathbf{f}_R(\mathbf{x})}{|\mathbf{f}_R(\mathbf{x})|}$$



# Signal Monogénique

**i2D**

Image originale  
de [Felsberg 2002]



amplitude



orientation



phase

# Plan

- 1 **Modèles variationnels**
  - Contour Actif Géodésique (GAC)
  - Modèle du Maximum de Vraisemblance (MV)
  - Modèle du Laplacien
- 2 **L'information de phase locale**
  - La phase locale 1D
  - La phase locale nD
  - Les filtres en quadratures
- 3 **Contributions**
  - Terme d'alignement monogénique
  - Feature Asymmetry Monogénique (MFA)
  - Modèle du MV local
- 4 **Expérimentation**
- 5 **Conclusion et perspectives**

# Les filtres en quadratures

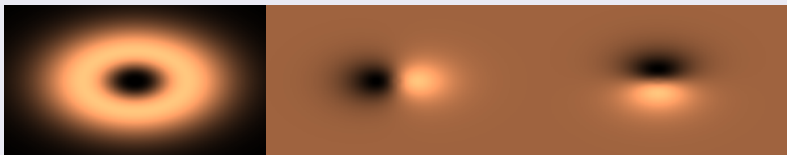
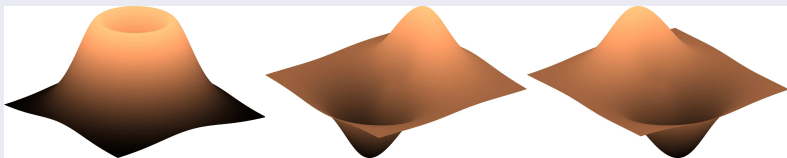
- Un moyen pratique pour estimer le signal analytique (monogénique) [Granlund & Knutsson 1995], [Knutsson 2003]
- $c$  un filtre passe-bande

$$\begin{aligned}
 f_M(\mathbf{x}) &= (-\mathbf{f}_{\mathcal{R}}, f)(\mathbf{x}) * c(\mathbf{x}) \\
 &= (-\mathbf{f}_{\mathcal{R}} * c, f * c)(\mathbf{x}) \\
 &= f(\mathbf{x}) * (\underbrace{h_1 * c, h_2 * c}_{\text{impaire}}, \underbrace{c}_{\text{paire}})(\mathbf{x}) \\
 &\quad \underbrace{\hspace{10em}}_{\text{filtre en quadrature}}
 \end{aligned}$$

# Les filtres en quadratures

## Filtre de Cauchy [Boukerroui et al. 2004]

$$F_{Ch}(u) = n_c u^a \exp(-\sigma u), \quad u \geq 0, \quad a > 1,$$





# Les filtres en quadratures

## L'importance du filtre de Poisson et ses dérivées

- Il est étroitement lié au signal monogénique. Il constitue un **espace-échelle monogénique** [Felsberg et al. 2004]

## Pourquoi le filtre de Cauchy

- Construit à partir du filtre de Poisson, il est étroitement lié au signal monogénique [Felsberg et al. 2004]

# Les filtres en quadratures

## L'importance du filtre de Poisson et ses dérivées

- Il est étroitement lié au signal monogénique. Il constitue un **espace-échelle monogénique** [Felsberg et al. 2004]

## Pourquoi le filtre de Cauchy

- Construit à partir du filtre de Poisson. Il est étroitement lié au signal monogénique [Belaid et al. 2009]
- Il est une généralisation du filtre de Laplacien de Poisson (LoP).
- Cauchy est suggéré comme une meilleure alternative au filtre Log-Gabor [Boukerroui et al. 2004]
- Il a fait ses preuves en pratique [Belaid et al. 2009]

# Les filtres en quadratures

## L'importance du filtre de Poisson et ses dérivées

- Il est étroitement lié au signal monogénique. Il constitue un **espace-échelle monogénique** [Felsberg et al. 2004]

## Pourquoi le filtre de Cauchy

- Construit à partir du filtre de Poisson. Il est étroitement lié au signal monogénique [Belaid et al. 2009]
- Il est une généralisation du filtre de Laplacien de Poisson (LoP).
  - Récemment, LoP est présenté comme le filtre le plus adapté au signal monogénique [Sedezek 2013]
- Cauchy est suggéré comme une meilleure alternative au filtre Log-Gabor [Boukerroui et al. 2004]
- Il a fait ses preuves en pratique [Belaid et al. 2009]

# Les filtres en quadratures

## L'importance du filtre de Poisson et ses dérivées

- Il est étroitement lié au signal monogénique. Il constitue un **espace-échelle monogénique** [Felsberg et al. 2004]

## Pourquoi le filtre de Cauchy

- Construit à partir du filtre de Poisson. Il est étroitement lié au signal monogénique [Belaid et al. 2009]
- Il est une généralisation du filtre de Laplacien de Poisson (LoP).
  - Récemment, LoP est présenté comme le filtre le plus adapté au signal monogénique [Sedlazeck 2008]
  - Cauchy est suggéré comme une meilleure alternative au filtre Log-Gabor [Boukerroui et al. 2004]
  - Il a fait ses preuves en pratique [Belaid et al. 2009]

# Les filtres en quadratures

## L'importance du filtre de Poisson et ses dérivées

- Il est étroitement lié au signal monogénique. Il constitue un **espace-échelle monogénique** [Felsberg et al. 2004]

## Pourquoi le filtre de Cauchy

- Construit à partir du filtre de Poisson. Il est étroitement lié au signal monogénique [Belaid et al. 2009]
- Il est une généralisation du filtre de Laplacien de Poisson (LoP).
  - Récemment, LoP est présenté comme le filtre le plus adapté au signal monogénique [Sedlazek 2008]
- Cauchy est suggéré comme une meilleure alternative au filtre Log-Gabor [Boukerroui et al. 2004]
- Il a fait ses preuves en pratique [Belaid et al. 2009]

# Les filtres en quadratures

## L'importance du filtre de Poisson et ses dérivées

- Il est étroitement lié au signal monogénique. Il constitue un **espace-échelle monogénique** [Felsberg et al. 2004]

## Pourquoi le filtre de Cauchy

- Construit à partir du filtre de Poisson. Il est étroitement lié au signal monogénique [Belaid et al. 2009]
- Il est une généralisation du filtre de Laplacien de Poisson (LoP).
  - Récemment, LoP est présenté comme le filtre le plus adapté au signal monogénique [Sedlazek 2008]
- Cauchy est suggéré comme une meilleure alternative au filtre Log-Gabor [Boukerroui et al. 2004]
- Il a fait ses preuves en pratique [Belaid et al. 2009]

# Les filtres en quadratures

## L'importance du filtre de Poisson et ses dérivées

- Il est étroitement lié au signal monogénique. Il constitue un **espace-échelle monogénique** [Felsberg et al. 2004]

## Pourquoi le filtre de Cauchy

- Construit à partir du filtre de Poisson. Il est étroitement lié au signal monogénique [Belaid et al. 2009]
- Il est une généralisation du filtre de Laplacien de Poisson (LoP).
  - Récemment, LoP est présenté comme le filtre le plus adapté au signal monogénique [Sedlazek 2008]
- Cauchy est suggéré comme une meilleure alternative au filtre Log-Gabor [Boukerroui et al. 2004]
- Il a fait ses preuves en pratique [Belaid et al. 2009]

# Les filtres en quadratures

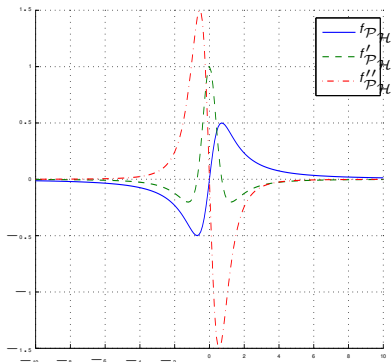
## Lien entre les filtres de Cauchy et Poisson

- Le filtre de Cauchy est la  $a^{\text{ième}}$  dérivée spatiale du filtre de Poisson
- $f_P(\mathbf{x}) = n_c \frac{\sigma}{2\pi(\sigma^2 + \mathbf{x}^2)^{3/2}}$
- $a$  impaire  $\rightarrow a^{\text{ième}}$  dérivée de  $(f_P / f_{P_H})$
- $a$  paire  $\rightarrow a^{\text{ième}}$  dérivée de  $(f_{P_H} / f_P)$



$$F_{Ch}(u) = n_c u^a \exp(-\sigma u) ,$$

$$F_P(u) = n_c \exp(-\sigma u)$$



# Plan

- 1 **Modèles variationnels**
  - Contour Actif Géodésique (GAC)
  - Modèle du Maximum de Vraisemblance (MV)
  - Modèle du Laplacien
- 2 **L'information de phase locale**
  - La phase locale 1D
  - La phase locale nD
  - Les filtres en quadratures
- 3 **Contributions**
  - Terme d'alignement monogénique
  - Feature Asymmetry Monogénique (MFA)
  - Modèle du MV local
- 4 **Expérimentation**
- 5 **Conclusion et perspectives**

Terme d'alignement monogénique

# Lien entre le modèle du Laplacien et la transformée de Riesz

# Lien entre le modèle du Laplacien et la transformée de Riesz

Lien direct entre la transformée de Riesz et le gradient complexe

$$f_{\mathcal{R}}(\mathbf{x}) = -\left(\frac{\partial}{\partial x} + i\frac{\partial}{\partial y}\right)\left(\frac{1}{2\pi|\mathbf{x}|} * I(\mathbf{x})\right),$$

Interpréter la transformée de Riesz comme le gradient d'une image lissée

# Lien entre le modèle du Laplacien et la transformée de Riesz

Lien direct entre la transformée de Riesz et le gradient complexe

$$f_{\mathcal{R}}(\mathbf{x}) = - \left( \frac{\partial}{\partial x} + i \frac{\partial}{\partial y} \right) \left( \frac{1}{2\pi|\mathbf{x}|} * I(\mathbf{x}) \right),$$

Interpréter la transformée de Riesz comme le gradient d'une image lissée

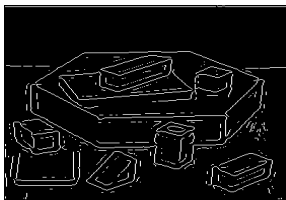
$$\frac{\partial |f_{\mathcal{R}}(\mathbf{x})|}{\partial \mathbf{r}} = \text{div}(\mathbf{f}_{\mathcal{R}}(\mathbf{x})) \text{ , avec } \mathbf{r} = \frac{\mathbf{f}_{\mathcal{R}}(\mathbf{x})}{|f_{\mathcal{R}}(\mathbf{x})|}$$

$$\frac{\partial |\nabla I|}{\partial \mathbf{r}} = \text{div}(\nabla I) \text{ , avec } \mathbf{r} = \frac{\nabla I}{|\nabla I|}$$

Terme d'alignement monogénique

# Exemple

## Passage par zéro de la DTR



# Formulation variationnelle et interprétation

## Formulation variationnelle

La fonctionnelle

$$\mathcal{E}_{AR}(\mathcal{C}) = \int_0^1 |\langle \mathbf{f}_{\mathcal{R}}(x(p), y(p)), \mathbf{n}(p) \rangle| \left| \frac{\partial \mathcal{C}}{\partial p} \right| dp ,$$

L'équation d'évolution

$$\frac{\partial \mathcal{E}_{AR}(\mathcal{C})}{\partial \mathcal{C}} = \text{sign}(\langle \mathbf{f}_{\mathcal{R}}, \mathbf{n} \rangle) \text{div}(\mathbf{f}_{\mathcal{R}}) \mathbf{n}$$

## Interprétation

$\mathbf{f}_{\mathcal{R}} = |\mathbf{f}_{\mathcal{R}}|(\cos \theta, \sin \theta)$  , avec  $\theta$  l'orientation locale

# Formulation variationnelle et interprétation

## Formulation variationnelle

La fonctionnelle

$$\mathcal{E}_{AR}(\mathcal{C}) = \int_0^1 |\langle \mathbf{f}_{\mathcal{R}}(x(p), y(p)), \mathbf{n}(p) \rangle| \left| \frac{\partial \mathcal{C}}{\partial p} \right| dp ,$$

L'équation d'évolution

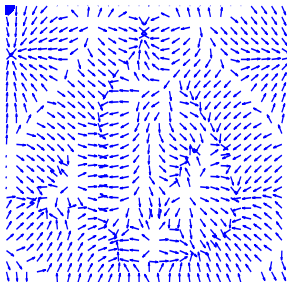
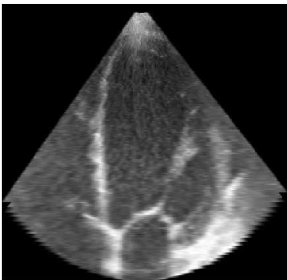
$$\frac{\partial \mathcal{E}_{AR}(\mathcal{C})}{\partial \mathcal{C}} = \text{sign}(\langle \mathbf{f}_{\mathcal{R}}, \mathbf{n} \rangle) \text{div}(\mathbf{f}_{\mathcal{R}}) \mathbf{n}$$

## Interprétation

$\mathbf{f}_{\mathcal{R}} = |\mathbf{f}_{\mathcal{R}}|(\cos \theta, \sin \theta)$  , avec  $\theta$  l'orientation locale

# Exemple

## Champ de vecteurs d'orientations locales



# Plan

- 1 **Modèles variationnels**
  - Contour Actif Géodésique (GAC)
  - Modèle du Maximum de Vraisemblance (MV)
  - Modèle du Laplacien
- 2 **L'information de phase locale**
  - La phase locale 1D
  - La phase locale nD
  - Les filtres en quadratures
- 3 **Contributions**
  - Terme d'alignement monogénique
  - Feature Asymmetry Monogénique (MFA)
  - Modèle du MV local
- 4 **Expérimentation**
- 5 **Conclusion et perspectives**

# Feature Asymmetry (FA) [Kovesi 1996]

- Objectif : détecter les structures de type bord
  - bord positif,  $\varphi = 0^\circ$
  - bord négatif,  $\varphi = 180^\circ$
- Rappelons que

$$\varphi = \text{atan2}\left(\underbrace{I * h_e}_{\text{paire}}, \underbrace{I * h_o}_{\text{impaire}}\right),$$

- Rechercher les points où la réponse des filtres pair et impair est grande

# Feature Asymmetry (FA) [Kovesi 1996]

- Objectif : détecter les structures de type bord
  - bord positif,  $\varphi = 0^\circ$
  - bord négatif,  $\varphi = 180^\circ$
- Rappelons que

$$\varphi = \text{atan2}(\underbrace{I * h_e}_{\text{paire}}, \underbrace{I * h_o}_{\text{impaire}}),$$

- Rechercher les points où la réponse des filtres pair et impair est grande

# Feature Asymmetry (FA) [Kovesi 1996]

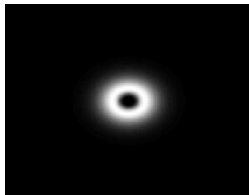
- Objectif : détecter les structures de type bord
  - bord positif,  $\varphi = 0^\circ$
  - bord négatif,  $\varphi = 180^\circ$
- Rappelons que

$$\varphi = \text{atan2}(\underbrace{I * h_e}_{\text{paire}}, \underbrace{I * h_o}_{\text{impaire}}),$$

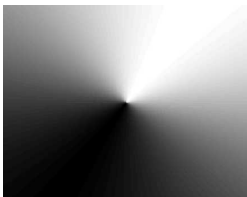
- Rechercher les points où la réponse des filtres pair et impair est grande

# La mesure FA par filtres orientables [Kovesi 1996]

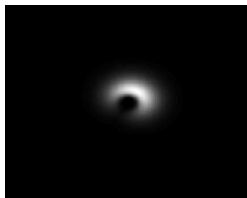
$$FA = \sum_{m,s} \frac{[|o_m^s| - |e_m^s| - T_m]}{\sqrt{(o_m^s)^2 + (e_m^s)^2} + \varepsilon},$$



filtre de log-Gabor

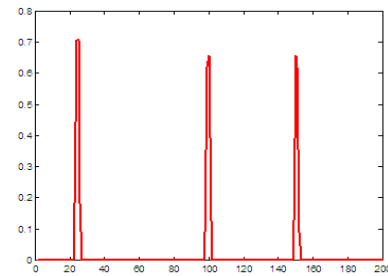
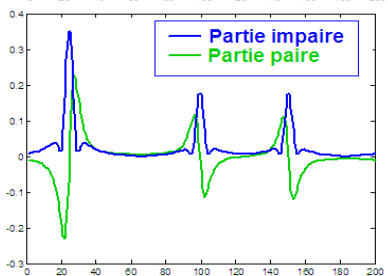
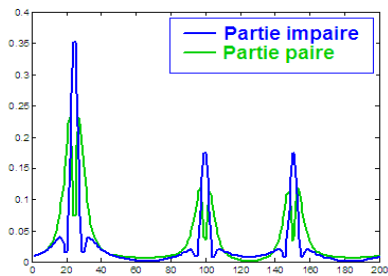
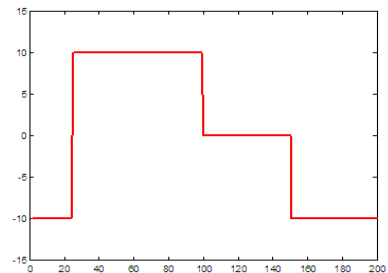


fonction d'orientation



filtre orienté

# Interprétation



# Formulation de la mesure MFA [Belaid et al. 2009]

## La mesure MFA sur plusieurs échelles

$$MFA = \frac{1}{N} \sum_s \frac{[||\mathbf{odd}_s| - |\mathbf{even}_s| - T_s|]}{\sqrt{\mathbf{even}_s^2 + \mathbf{odd}_s^2 + \varepsilon}},$$

## Avantages de la mesure MFA

- Pas de calcul d'orientation
  - Optimisation de l'espace mémoire
  - Optimisation du temps de calcul
- Extension naturelle de la transformée de Hilbert
  - Meilleurs résultats
  - Meilleure précision

# Formulation de la mesure MFA [Belaid et al. 2009]

## La mesure MFA sur plusieurs échelles

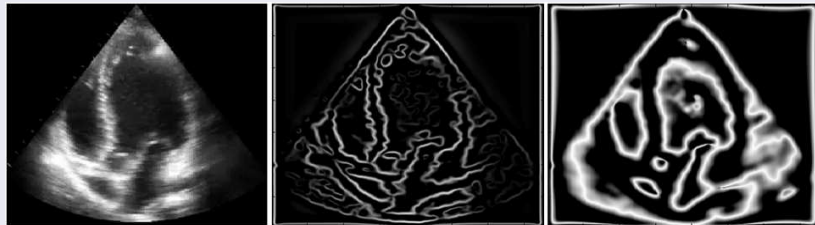
$$MFA = \frac{1}{N} \sum_s \frac{||\mathbf{odd}_s| - |\mathbf{even}_s| - T_s|}{\sqrt{\mathbf{even}_s^2 + \mathbf{odd}_s^2 + \varepsilon}},$$

## Avantages de la mesure MFA

- Pas de calcul d'orientation
  - Optimisation de l'espace mémoire
  - Optimisation du temps de calcul
- Extension naturelle de la transformée de Hilbert
  - Meilleurs résultats
  - Meilleure précision

# Formulation de la mesure MFA

## Exemple



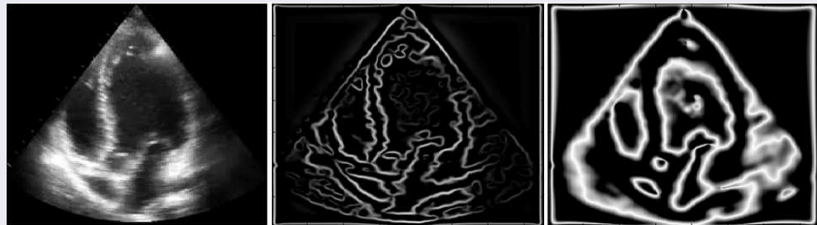
## Remarques

**Petites échelles** Détection d'importants détails, moins de régularité et présence de discontinuité des contours

**Grandes échelles** Les contours sont plus réguliers, continus et observation d'effet de délocalisation

# Formulation de la mesure MFA

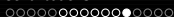
## Exemple



## Remarques

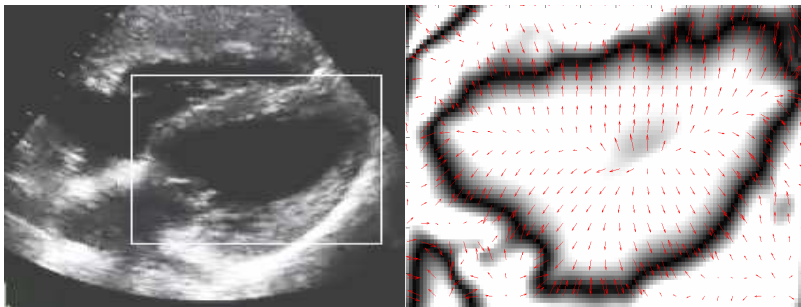
**Petites échelles** Détection d'importants détails, moins de régularité et présence de discontinuité des contours

**Grandes échelles** Les contours sont plus réguliers, continus et observation d'effet de délocalisation



Feature Asymmetry Monogénique (MFA)

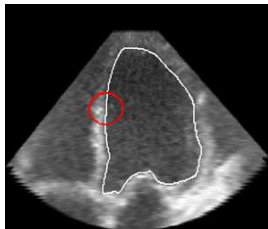
# Vecteur de phase locale et MFA



# Plan

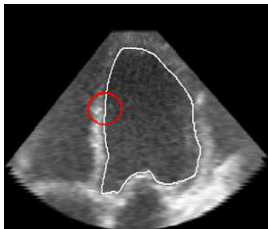
- 1 **Modèles variationnels**
  - Contour Actif Géodésique (GAC)
  - Modèle du Maximum de Vraisemblance (MV)
  - Modèle du Laplacien
- 2 **L'information de phase locale**
  - La phase locale 1D
  - La phase locale nD
  - Les filtres en quadratures
- 3 **Contributions**
  - Terme d'alignement monogénique
  - Feature Asymmetry Monogénique (MFA)
  - **Modèle du MV local**
- 4 **Expérimentation**
- 5 **Conclusion et perspectives**

# Principe des statistiques locales



$$F(\phi; \mathbf{x}) = - \int_{\Omega} \mathcal{B}(\mathbf{y}; \mathbf{x}) H(\phi) \log p(I) - \mathcal{B}(\mathbf{y}; \mathbf{x}) (1 - H(\phi)) \log p(I) d\mathbf{y}$$

# Principe des statistiques locales



$$F(\phi; \mathbf{x}) = - \int_{\Omega} \mathcal{B}(\mathbf{y}; \mathbf{x}) H(\phi) \log p(I) - \mathcal{B}(\mathbf{y}; \mathbf{x}) (1 - H(\phi)) \log p(I) dy$$

$$\hat{\sigma}_i^2(\mathbf{x}) = \frac{1}{2M_i(\mathbf{x})} \int_{\Omega} \mathcal{B}(\mathbf{y}; \mathbf{x}) H(\phi) I^2 dy ,$$

$$\hat{\sigma}_e^2(\mathbf{x}) = \frac{1}{2M_e(\mathbf{x})} \int_{\Omega} \mathcal{B}(\mathbf{y}; \mathbf{x}) (1 - H(\phi)) I^2 dy ,$$

# Formulation du modèle MV local

## La fonctionnelle

$$\mathcal{E}_{RL}(\phi) = \int_{\Omega} \delta(\phi(\mathbf{x})) F(\phi; \mathbf{x}) d\mathbf{x} ,$$

avec

$$F(\phi; \mathbf{x}) = - M_i(\mathbf{x}) \log \left( \frac{1}{M_i(\mathbf{x})} \int_{\Omega} \mathcal{B}(\mathbf{y}; \mathbf{x}) H(\phi) I^2 d\mathbf{y} \right) \\ - M_e(\mathbf{x}) \log \left( \frac{1}{M_e(\mathbf{x})} \int_{\Omega} \mathcal{B}(\mathbf{y}; \mathbf{x}) (1 - H(\phi)) I^2 d\mathbf{y} \right) .$$

# Formulation du modèle MV local

## La fonction d'évolution

$$\frac{\partial \phi}{\partial \tau}(\mathbf{x}) = \delta(\phi(\mathbf{x})) \int_{\Omega} \delta(\phi(\mathbf{y})) \mathcal{B}(\mathbf{y}; \mathbf{x}) F_{LML}(\phi; \mathbf{y}; \mathbf{x}) d\mathbf{y} ,$$

# Formulation du modèle MV local

## La fonction d'évolution

$$\frac{\partial \phi}{\partial \tau}(\mathbf{x}) = \delta(\phi(\mathbf{x})) \int_{\Omega} \delta(\phi(\mathbf{y})) \mathcal{B}(\mathbf{y}; \mathbf{x}) F_{LML}(\phi; \mathbf{y}; \mathbf{x}) d\mathbf{y} ,$$

# Formulation du modèle MV local

## La fonction d'évolution

$$\frac{\partial \phi}{\partial \tau}(\mathbf{x}) = \delta(\phi(\mathbf{x})) \int_{\Omega} \delta(\phi(\mathbf{y})) \mathcal{B}(\mathbf{y}; \mathbf{x}) F_{LML}(\phi; \mathbf{y}; \mathbf{x}) d\mathbf{y} ,$$

# Formulation du modèle MV local

## La fonction d'évolution

$$\frac{\partial \phi}{\partial \tau}(\mathbf{x}) = \delta(\phi(\mathbf{x})) \int_{\Omega} \delta(\phi(\mathbf{y})) \mathcal{B}(\mathbf{y}; \mathbf{x}) F_{LML}(\phi; \mathbf{y}; \mathbf{x}) d\mathbf{y} ,$$

avec

$$\begin{aligned} F_{LML}(\phi; \mathbf{z}; \mathbf{x}) = & \log \left( \frac{1}{M_i(\mathbf{x})} \int_{\Omega} \mathcal{B}(\mathbf{y}; \mathbf{x}) H(\phi(\mathbf{y})) I(\mathbf{y})^2 d\mathbf{y} \right) \\ & + \frac{I(\mathbf{z})^2 M_i(\mathbf{x}) + \int_{\Omega} \mathcal{B}(\mathbf{y}; \mathbf{x}) H(\phi(\mathbf{y})) I(\mathbf{y})^2 d\mathbf{y}}{\int_{\Omega} \mathcal{B}(\mathbf{y}; \mathbf{x}) H(\phi(\mathbf{y})) I(\mathbf{y})^2 d\mathbf{y}} \\ & - \log \left( \frac{1}{M_e(\mathbf{x})} \int_{\Omega} \mathcal{B}(\mathbf{y}; \mathbf{x}) (1 - H(\phi(\mathbf{y}))) I(\mathbf{y})^2 d\mathbf{y} \right) \\ & - \frac{I(\mathbf{z})^2 M_e(\mathbf{x}) + \int_{\Omega} \mathcal{B}(\mathbf{y}; \mathbf{x}) (1 - H(\phi(\mathbf{y}))) I(\mathbf{y})^2 d\mathbf{y}}{\int_{\Omega} \mathcal{B}(\mathbf{y}; \mathbf{x}) (1 - H(\phi(\mathbf{y}))) I(\mathbf{y})^2 d\mathbf{y}} . \end{aligned}$$

# Plan

- 1 **Modèles variationnels**
  - Contour Actif Géodésique (GAC)
  - Modèle du Maximum de Vraisemblance (MV)
  - Modèle du Laplacien
- 2 **L'information de phase locale**
  - La phase locale 1D
  - La phase locale nD
  - Les filtres en quadratures
- 3 **Contributions**
  - Terme d'alignement monogénique
  - Feature Asymmetry Monogénique (MFA)
  - Modèle du MV local
- 4 **Expérimentation**
- 5 **Conclusion et perspectives**

# Le modèle à expérimenter

$$\frac{\partial \phi}{\partial t} = \left[ -\text{sign}(\langle \Phi, \nabla \phi \rangle) \text{div}(\Phi) + \nu \text{div} \left( g \frac{\nabla \phi}{|\nabla \phi|} \right) + \alpha g \right. \\ \left. + \lambda \int_{\Omega} \delta(\phi(\mathbf{y})) \mathcal{B}(\mathbf{y}; \mathbf{x}) F_{LML}(\phi; \mathbf{y}; \mathbf{x}) d\mathbf{y} \right] \delta(\phi) ,$$

avec  $\nu$  et  $\lambda \in \mathbb{R}^+$  et  $\alpha \in \mathbb{R}$  des paramètres de pénalisations et  $g = (1/1 + \gamma \text{MFA})$ .

# Le modèle à expérimenter

$$\frac{\partial \phi}{\partial t} = \left[ -\text{sign}(\langle \Phi, \nabla \phi \rangle) \text{div}(\Phi) + \nu \text{div} \left( g \frac{\nabla \phi}{|\nabla \phi|} \right) + \alpha g \right. \\ \left. + \lambda \int_{\Omega} \delta(\phi(\mathbf{y})) \mathcal{B}(\mathbf{y}; \mathbf{x}) F_{LML}(\phi; \mathbf{y}; \mathbf{x}) d\mathbf{y} \right] \delta(\phi) ,$$

avec  $\nu$  et  $\lambda \in \mathbb{R}^+$  et  $\alpha \in \mathbb{R}$  des paramètres de pénalisations et  $g = (1/1 + \gamma \text{MFA})$ .

# Le modèle à expérimenter

$$\frac{\partial \phi}{\partial t} = \left[ -\text{sign}(\langle \Phi, \nabla \phi \rangle) \text{div}(\Phi) + \nu \text{div} \left( g \frac{\nabla \phi}{|\nabla \phi|} \right) + \alpha g \right. \\ \left. + \lambda \int_{\Omega} \delta(\phi(\mathbf{y})) \mathcal{B}(\mathbf{y}; \mathbf{x}) F_{LML}(\phi; \mathbf{y}; \mathbf{x}) d\mathbf{y} \right] \delta(\phi) ,$$

avec  $\nu$  et  $\lambda \in \mathbb{R}^+$  et  $\alpha \in \mathbb{R}$  des paramètres de pénalisations et  $g = (1/1 + \gamma \text{MFA})$ .

# Le modèle à expérimenter

$$\frac{\partial \phi}{\partial t} = \left[ -\text{sign}(\langle \Phi, \nabla \phi \rangle) \text{div}(\Phi) + \nu \text{div} \left( g \frac{\nabla \phi}{|\nabla \phi|} \right) + \alpha g \right. \\ \left. + \lambda \int_{\Omega} \delta(\phi(\mathbf{y})) \mathcal{B}(\mathbf{y}; \mathbf{x}) F_{LML}(\phi; \mathbf{y}; \mathbf{x}) d\mathbf{y} \right] \delta(\phi) ,$$

avec  $\nu$  et  $\lambda \in \mathbb{R}^+$  et  $\alpha \in \mathbb{R}$  des paramètres de pénalisations et  $g = (1/1 + \gamma \text{MFA})$ .

# Le modèle à expérimenter

$$\frac{\partial \phi}{\partial t} = \left[ -\text{sign}(\langle \Phi, \nabla \phi \rangle) \text{div}(\Phi) + \nu \text{div} \left( g \frac{\nabla \phi}{|\nabla \phi|} \right) + \alpha g \right. \\ \left. + \lambda \int_{\Omega} \delta(\phi(\mathbf{y})) \mathcal{B}(\mathbf{y}; \mathbf{x}) F_{LML}(\phi; \mathbf{y}; \mathbf{x}) d\mathbf{y} \right] \delta(\phi) ,$$

avec  $\nu$  et  $\lambda \in \mathbb{R}^+$  et  $\alpha \in \mathbb{R}$  des paramètres de pénalisations et  $g = (1/1 + \gamma \text{MFA})$ .

# Le modèle à expérimenter

$$\frac{\partial \phi}{\partial t} = \left[ -\text{sign}(\langle \Phi, \nabla \phi \rangle) \text{div}(\Phi) + \nu \text{div} \left( g \frac{\nabla \phi}{|\nabla \phi|} \right) + \alpha g \right. \\ \left. + \lambda \int_{\Omega} \delta(\phi(\mathbf{y})) \mathcal{B}(\mathbf{y}; \mathbf{x}) F_{LML}(\phi; \mathbf{y}; \mathbf{x}) d\mathbf{y} \right] \delta(\phi) ,$$

avec  $\nu$  et  $\lambda \in \mathbb{R}^+$  et  $\alpha \in \mathbb{R}$  des paramètres de pénalisations et  $g = (1/1 + \gamma \text{MFA})$ .

# Le modèle à expérimenter

$$\frac{\partial \phi}{\partial t} = \left[ -\text{sign}(\langle \Phi, \nabla \phi \rangle) \text{div}(\Phi) + \nu \text{div} \left( g \frac{\nabla \phi}{|\nabla \phi|} \right) + \alpha g \right. \\ \left. + \lambda \int_{\Omega} \delta(\phi(\mathbf{y})) \mathcal{B}(\mathbf{y}; \mathbf{x}) F_{LML}(\phi; \mathbf{y}; \mathbf{x}) d\mathbf{y} \right] \delta(\phi) ,$$

avec  $\nu$  et  $\lambda \in \mathbb{R}^+$  et  $\alpha \in \mathbb{R}$  des paramètres de pénalisations et  $g = (1/1 + \gamma \text{MFA})$ .

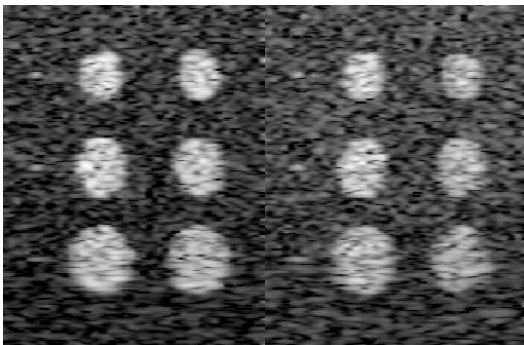
## Quelques notations

- Modèle **PBLS**, l'approche faisant combiner le terme d'alignement, le terme de régularisation et un terme d'air.
- Modèle **GAC+MVL**, l'approche combinant le terme GAC et celui du MV local.

# Méthodologie

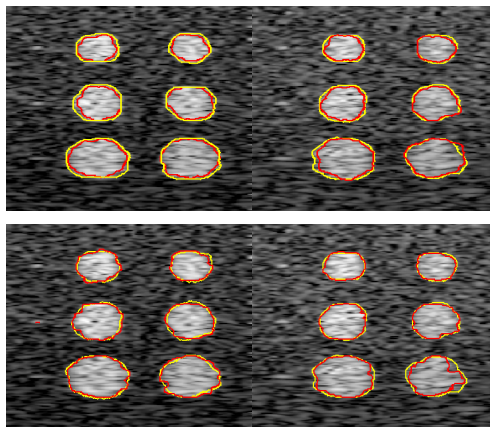
- Évaluation sur des images de synthèses
- Évaluation sur des images réelles - tracés manuels

# Évaluation avec des images de synthèses



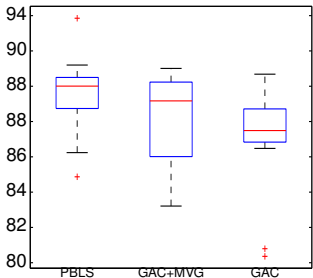
**FIGURE:** Images de simulation (Field II [Jensen et al. 1992]). De droite à gauche, des disques de fort à faible contraste. Pour chaque colonne, de haut en bas, les cercles ont respectivement des rayons de 17, 20 et 23 pixels.

# Évaluation avec des images de synthèses

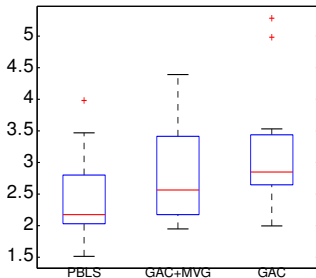


**FIGURE:** Comparaison des résultats de segmentation de la méthode PBLS (en jaune) avec la méthode GAC (en rouge, première ligne), et avec la méthode GAC+MVG (en rouge, deuxième ligne).

# Évaluation avec des images de synthèses



(a)

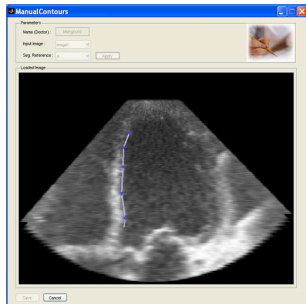


(b)

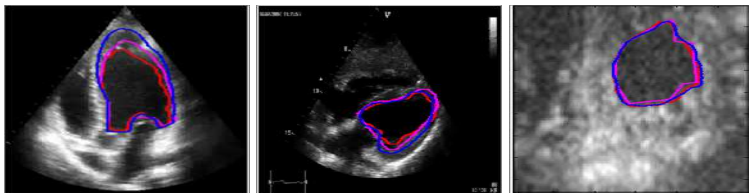
**FIGURE:** Diagramme en boîte des mesures **DSC** (a) et **MAD** (b) des résultats de segmentation des méthodes PBLS, GAC+MVG et GAC sur les images de synthèse.

# Évaluation avec des tracés manuels

- Une base de 20 images échocardiographiques B mode
- Segmenté par deux médecins
- Chaque médecin segmente chaque image 5 fois
- Au total : 200 segmentations manuelles



# Évaluation avec des tracés manuels



**FIGURE:** En rouge le résultat automatique, en bleu le tracé du premier médecin et en mauve le tracé du deuxième médecin.

# Évaluation avec des tracés manuels

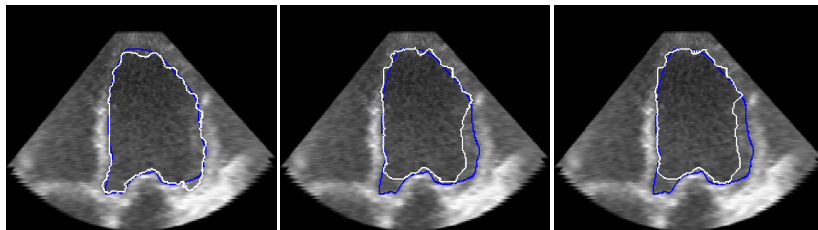


**FIGURE:** En rouge le résultat automatique, en bleu le tracé du premier médecin et en mauve le tracé du deuxième médecin.

Images	1	2	3	4	5	6	7	8	9	10
intra-observateur 1	96.23	96.58	96.88	95.29	97.09	96.20	95.27	96.59	93.32	94.22
intra-observateur 2	96.74	96.71	97.43	97.07	97.78	97.22	97.41	95.07	94.74	95.48
inter-observateur 1/2	87.61	89.27	97.17	96.96	97.13	95.96	87.61	87.24	93.30	92.82

**TABLE:** La mesure DSC (%) de l'intra-observateur et l'inter-observateur des résultats obtenus sur dix images.

# Évaluation avec des tracés manuels



PBLS

GAC

GAC+MVG

Mesures	DSC (%)			MAD (pixels)		
	Moyenne	Médiane	$\sigma$	Moyenne	Médiane	$\sigma$
Indexes						
GAC	84.87	88.43	9.42	7.47	5.81	4.05
GAC+MVG	86.78	89.08	8.85	6.61	5.19	4.32
PBLS	<b>89.91</b>	<b>91.88</b>	<b>6.01</b>	<b>5.59</b>	<b>4.33</b>	<b>3.33</b>
intra-observateur	96.15	96.51	0.92	2.39	2.20	0.65
inter-observateur	93.66	93.82	3.67	3.80	3.06	2.48

# Évaluation avec des tracés manuels

**TABLE:** Statistiques des mesures DSC et MAD sur les distances des données inter-observateurs, intra-observateurs et automatiques.

Mesures	DSC (%)			MAD (pixels)		
	Moyenne	Mediane	$\sigma$	Moyenne	Mediane	$\sigma$
GAC	87.30	88.65	3.13	5.25	4.96	1.57
GAC+MVG	89.33	89.58	3.31	4.43	4.17	1.66
GAC+MVL	<b>91.90</b>	<b>92.70</b>	<b>2.53</b>	<b>3.53</b>	<b>3.17</b>	<b>1.48</b>
inter-observateur	94.82	95.51	2.75	2.42	2.65	0.94
intra-observateur	96.10	96.54	0.83	1.93	1.84	0.27

# Plan

- 1 **Modèles variationnels**
  - Contour Actif Géodésique (GAC)
  - Modèle du Maximum de Vraisemblance (MV)
  - Modèle du Laplacien
- 2 **L'information de phase locale**
  - La phase locale 1D
  - La phase locale nD
  - Les filtres en quadratures
- 3 **Contributions**
  - Terme d'alignement monogénique
  - Feature Asymmetry Monogénique (MFA)
  - Modèle du MV local
- 4 **Expérimentation**
- 5 **Conclusion et perspectives**

# Conclusion

- 1 Intégration de l'information de phase locale dans un processus d'ensemble de niveaux.
  - Utilisation du filtre de Cauchy pour estimer les propriétés locales.
  - Robustesse aux atténuations et au faible contraste
- 2 Un nouveau terme basé sur l'estimation locale du MV
  - Efficace contre les changements d'intensités
  - Fait face aux minima locaux

# Perspectives

- 1 Évaluer la méthode proposée sur des images radiofréquence (RF)
- 2 Automatisation du paramétrage
- 3 Intégration d'un a priori de forme
- 4 Validation clinique

Merci pour votre attention